

### III-115 繊固めた土の吸水による土性の変化について

中央大学理工学部

正員

久野悟郎

本州四国連絡橋公团

正員

阿部和智

中央大学大学院

学生員

○並木辰之

繊固めた土の性質の適合を論ずる場合には、繊固められた土が吸水によってどのような性質の変化を示すかを注視する必要である。この報告の内容は、土の繊固め度の合理的な決定を期する一連の実験として、稻城砂を種々の状態に繊固め、その吸水前後のセメント特性を三軸圧縮試験によって対比したものである。繊固めの手法はランマーによる突固めであり、それが土の繊固め状態として的一般性があるか否かが不明である；と、および、供試体を吸水させた方法として装置の都合上、供試体内の気圧を下げた状態で給水するといった手段しか得なかったことの問題として残されているが、傾向的には上記の目的を達し得たと思われる。なお、当報告に引用した実験結果は、日本住宅公团の委託研究のため実施した実験の一部であることを付記しておく。

#### 1. 試料および実験方法

試料は東京都南多摩郡夕暮町、および稻城町から採取した通常、稻城砂とよばれていた凝灰質砂であり、視察上、細かいと判断されたもの（以下細試料と略称する）と、相対的に粗いもの（以下粗試料と略称する）の2種を選んだ。試料の粒径加積曲線、自然含水比、比重、および分類結果を図-1に示す。試料の初期含水比を乾燥により粗で約5%，細で約10%に調整し、小型突固め装置（ランマー重量1.4kg、落下高約20cm、モールド径5cm、高さ12.5cm）により5層に突固めた。突固め回数としては5, 10, 25, 50回を選んだ（モールド体積当たり繊固め往復量で比較すると10回の突固めが、ほぼJIS A 1210 のオーフ法に相当する）。繊固められた供試体につき直ちに三軸圧縮試験機により非排水条件でセメント試験（不飽和条件とする）と、真空ポンプで供試体内の気圧を下げた後、給水して飽和せらべくつめた後、非排水条件でセメント試験（飽和条件とする）を側圧約0.5, 1.0, 2.0, 3.0 kN/cm<sup>2</sup>について実施した。

#### 2. 吸水による含水量の変化

繊固め時の含水比を

$w'$ 、吸水後の含水比を $w''$ とすれば、含水比の増加 $\Delta w = (w'' - w')$

の等価線を、 $w'$ ～ $w''$ 間に示すと図-2～図-5に例示したようになる。一方、土を土粒子部分、水部分、空気間隙部分の三相に分

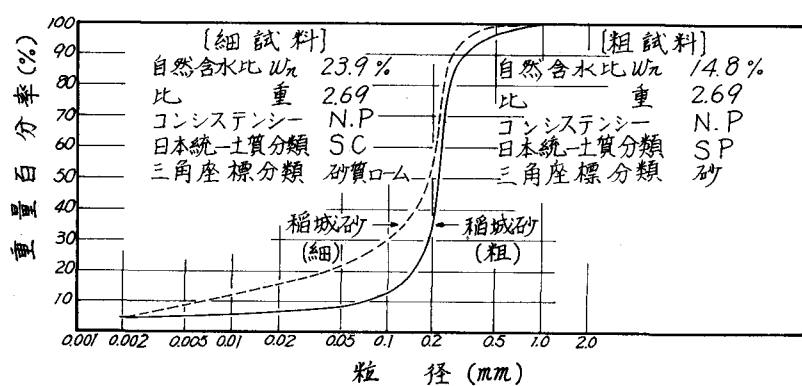


図-1 試料の土性

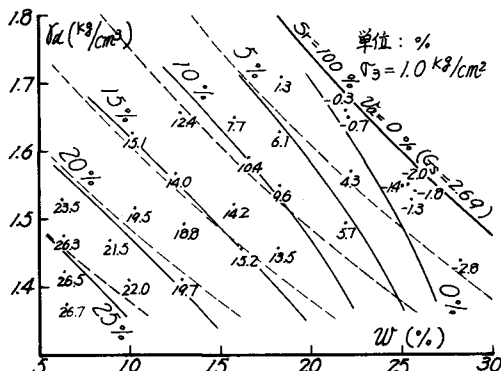


図-2 吸水による含水比の増加 $\Delta W$ (細試料)

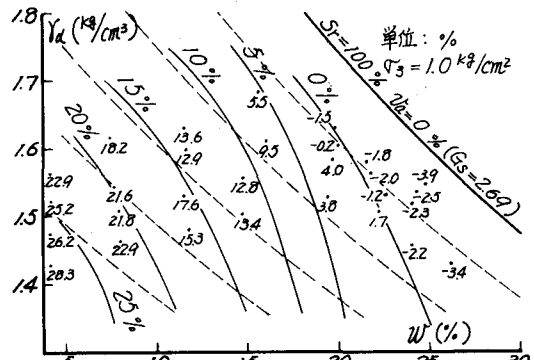


図-4 吸水による含水比の増加 $\Delta W$ (粗試料)

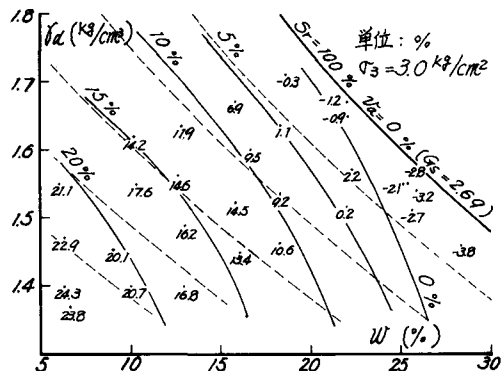


図-3 吸水による含水比の増加 $\Delta W$ (細試料)

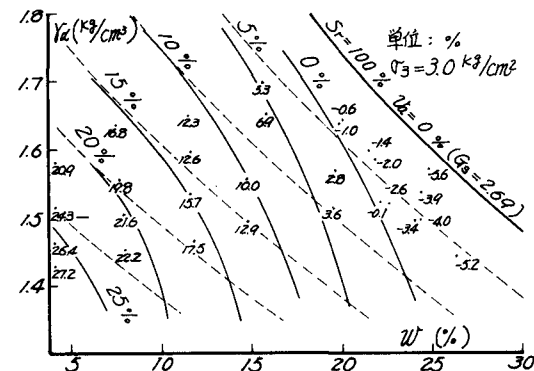


図-5 吸水による含水比の増加 $\Delta W$ (粗試料)

けて、綿囲われた土の空気間隙のみに水が浸入し、体積変化よりではなく含水比が増加するものと仮定すると

$$\gamma_d = \frac{\gamma_w}{\frac{1}{100}(W + \Delta W) + \frac{1}{G_s}}$$

という関係式がみられられる。図-2～図-5には、 $\Delta W$ をパラメータとして、この関係が直線によって示されている。実線の実測値もとづく等価線と、実線の上記の式による曲線を比較すると、いずれも $\gamma_d$ が低く、 $W$ が高い領域において両者のずれが大きく、倒立が高くなるほど、その傾斜が大きくなっている。これらの事実から、粗成形においては、計算上の飽和について前述した如きのように、含水比が減るという、いわば“実質上の飽和状態”が現れるといふこと、および乾燥度が低い部分で吸水させると、おそらく体積減少が併行して、理論より少ない水量で飽和状態に達するといふことが想像される。一方、細の側面が低く、 $W$ の高い領域では、実測値の方が計算値を上まわっている部分もあるが、これは吸水膨脹によると現象と理解されよう。また特に注目すべきことは、 $\Delta W = 0\%$  線が細の場合ほどゼロ空気間隙を曲線に近く、粗の方がそれから離れていくことである。一般的にいって、吸水によって土の状態は悪化するはすであるから、それに対応するためには、粗ほど飽和度を高くしておくことが必要で、粗であると、その状態が相対的に飽和度の低い方に移行すべきであろうことと理解できる。

### 3. セン断特性の変化

セン断破壊時の軸差応力  $(\sigma_1 - \sigma_3)_f$  の値を  $\gamma_a$ ～ $W$  図上にプロットし、等価線を画いた例が図-6～図-9 である。飽和条件の図-8, 9 は、吸水後の  $(\sigma_1 - \sigma_3)_f$  の値を吸水前の  $\gamma_a$ ～ $W$  図上に画いて、不飽和条件のそれとの対比を容易にしている点に注意されたい。(粗についても同様の試験を実施するが、細向が細のそれと類似しているため省略)。

$\gamma_a$ ～ $W$  図上の等価線の形状は、細固め直後(不飽和条件)と吸水後(飽和条件)にて、いちじろしい変化を示している。これは、細固め直後の飽和度の低い細固め状態は、吸水によりいちじろしく強度低下を示すという既知の事実を明示しているものであり、吸水後の土の強度を示す指標としては最適領域( $\gamma_a$  max と  $W_{opt}$  の点を含む領域)における  $\gamma_a$  と強度との関係が目安となることがわかる。これらの図から  $\gamma_a = 5\%$ ,  $15\%$  における  $(\sigma_1 - \sigma_3)_f$  の値と含水比  $W$  との関係をみると、細、粗両試料について曲線を画いたものが図-10(a), (b) および図-11(a), (b) である。不飽和条件の曲線と飽和条件の曲線がよく合致しているのが、細試料では図-10(a) の  $\gamma_a = 5\%$  の場合で、一方粗試料では図-11(b) の  $\gamma_a = 15\%$  の場合であることに注目されよう。飽和、不飽和両者の値が一致する場合の方が土構造物としてのやましい安定した強さをもつ条件であろうとすれば、細の場合の方が粗よりし飽和度の高い領域をねらい、粗の場合には、むしろ空気間隔の多い状態をめざすべきといふことになり、これと、2 につけて実質上の飽和状態の関連がよく対応していることがわかる。

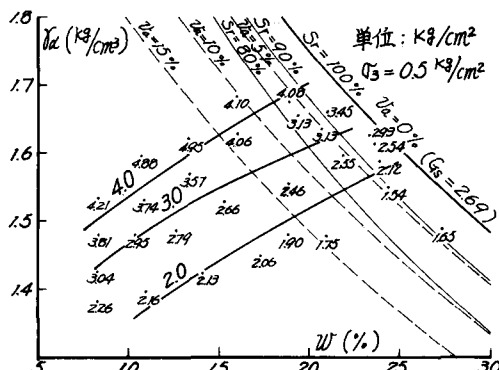


図-6  $(\sigma_1 - \sigma_3)_f$  の等価線例(細試料・不飽和条件)

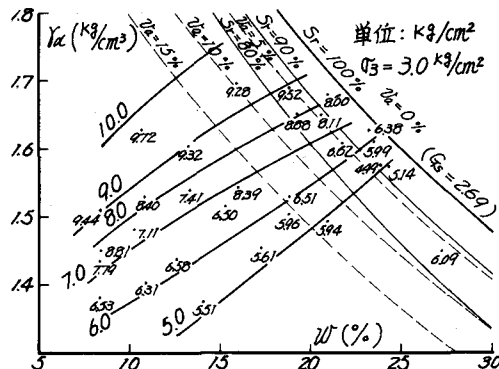


図-7  $(\sigma_1 - \sigma_3)_f$  の等価線例(細試料・不飽和条件)

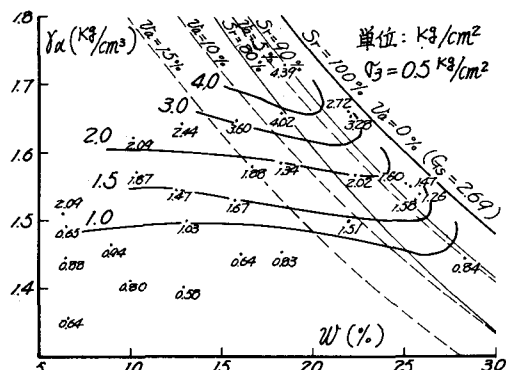


図-8  $(\sigma_1 - \sigma_3)_f$  の等価線例(細試料・飽和条件)

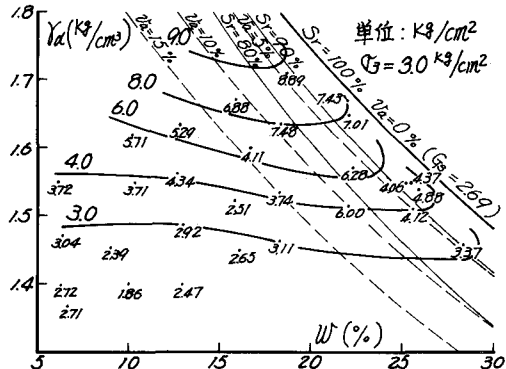


図-9  $(\sigma_1 - \sigma_3)_f$  の等価線例(細試料・飽和条件)

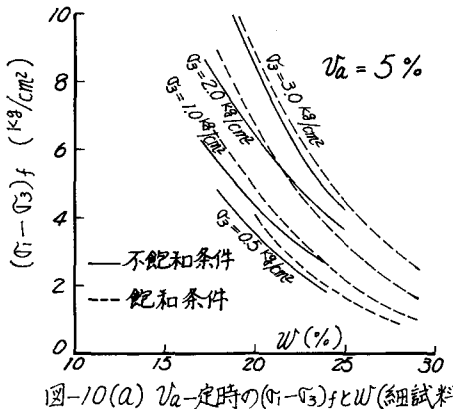


図-10(a)  $V_a$ 一定時の $(T_1 - T_3)_f$ とW(細試料)

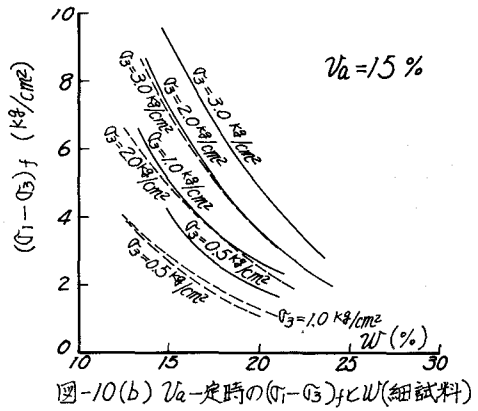


図-10(b)  $V_a$ 一定時の $(T_1 - T_3)_f$ とW(細試料)

試験結果を有効心力的に整理し、 $C'$ 、 $\phi'$ を求め、それについてつき図-10、図-11と同様の曲線も書いてみた。測定した範囲について、 $C'$ と $\phi'$ も含水比の低下に伴って増加する同じような曲線となり。飽和、不飽和条件に対する $G_3$ との関係は、 $C'$ においては図-10、11と同じ傾向を示したが、 $\phi'$ については、その差に傾向性が見出せなかつた。

#### 4. あとがき

以上、粗成形について吸水前後のセン断特性の変化についての実験結果を述べた。最近は安定した土の状態を規定するための飽和度規定(例えば $S_f = 8.5\%$ 以上、95%以下)あるいは空気開隙率規定(例えば $V_a = 10\%$ 以下2%以上)がとりえりとなり多くなつて、これらの状態の指定と強度特性などの点へより図上における等価線の組合せが、最終的に要求する土の締固め規定となりうるとは当然考えられるところであり、この研究もその一助として行なわれていいものである。しかし、土全般について逐一的に上記の規定を適用することは無理があることは、先に指摘した通りである。(1)これが今回の吸水過程について、理論上の飽和より光に実質上の飽和状態に到達するまで、一つづき裏付けが得られたと思つていい。

- (1) 久野信郎：道路盛土の締固め度規定の妥当性について、第9回日本道路会議一般論文集  
昭和44年 P59

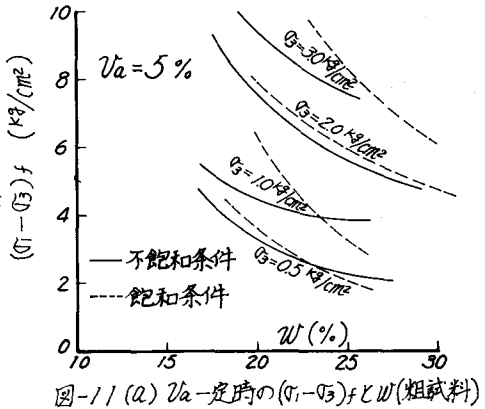


図-11(a)  $V_a$ 一定時の $(T_1 - T_3)_f$ とW(粗試料)

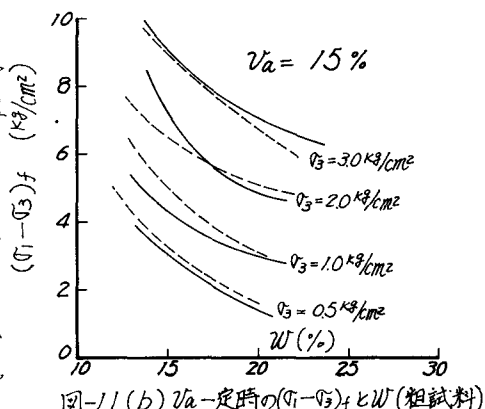


図-11(b)  $V_a$ 一定時の $(T_1 - T_3)_f$ とW(粗試料)